

# 用角分辨紫外光电子能谱研究 GaP 的能带结构\*

卢学坤 侯晓远 丁训民 陈 平

复旦大学表面物理实验室, 上海, 200433

1989年11月7日收到

本文利用 HeI 紫外线作为激发源, 测量了 GaP(III) 面的角分辨紫外光电子能谱, 通过详细的数据分析, 解释了谱中观察到的各光电子峰。实验测得的体电子能带结构特征与理论符合较好。

PACC: 7125T

## 一、引言

用固定能量的光子 (He 放电光源) 测量 GaP (III) 面的角分辨紫外光电子能谱 (ARUPS) 时, 谱中出现了丰富的光电子峰结构。对这些结构作出合适的解释有助于理解 GaP 材料的能带结构。众所周知, 高强度连续可调的同步辐射光源的出现, 给半导体材料的能带结构研究提供了强有力的工具。原则上, 人们可以测量能带在  $K$  空间任意方向的色散关系。但也应注意到, 人们并不能随时随地地利用同步辐射光源, 在绝大多数实验室中, 传统的气体放电紫外光源或固定光子能量的 X 射线光源仍占主导地位, 如何利用这些简单的光源得到尽可能多的能带信息, 这无疑是一个十分现实的课题。本文采用 HeI 紫外线光源对 GaP(III) 面在这方面作了一定的尝试。

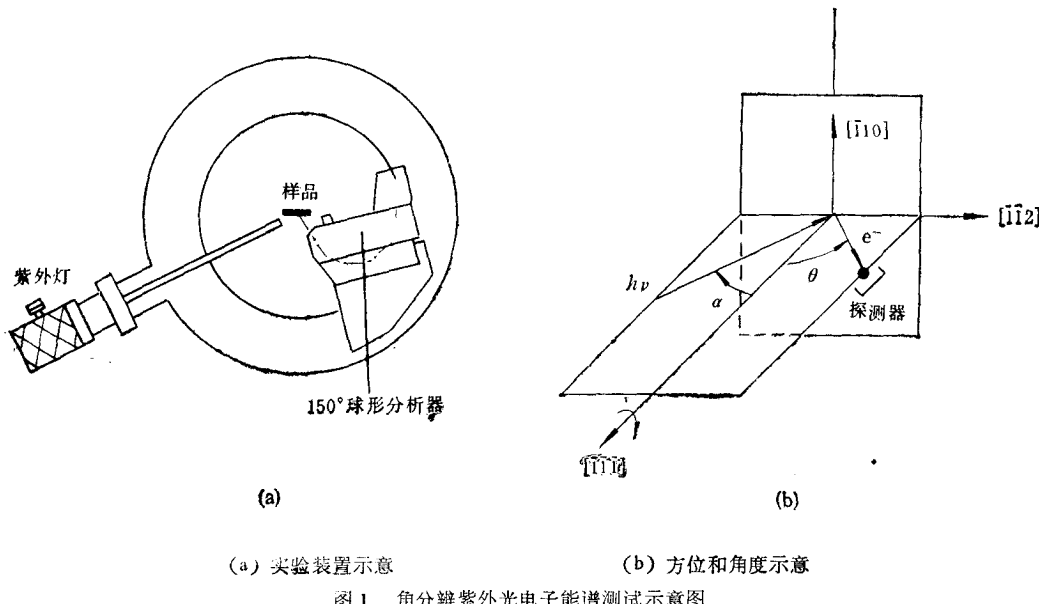
## 二、实验装置与样品

实验在角分辨电子能谱仪 ADES 400 上进行, 真空室基本压强为  $10^{-10}$  Torr。样品是冶金工业部有色金属研究院提供的 n 型 GaP (III) 单晶片, 掺杂浓度  $n = 5 \times 10^{17} \text{ cm}^{-3}$ 。首先用无水乙醇和丙酮清洗去油, 然后装入真空室, 系统经  $150^\circ\text{C}$  烘烤 24h, 除气后, 用  $1\text{kV Ar}^+$  轰击样品表面 40min,  $\text{Ar}^+$  束流约  $5\mu\text{A}$ , 随后在  $480^\circ\text{C}$  温度下退火 40min, 反复轰击退火, 直至 X 射线光电子能谱 (XPS) 检测无碳 (C)、氧 (O) 沾污。经过处理的样品, 表面呈现 X 再构<sup>[1]</sup>。

由于 ADES 400 系统上的能量分析器接收角很小 (约  $\pm 4^\circ$ ), 而且分析器可以绕样

\* 国家自然科学基金资助的课题。

品旋转,见图1(a)所示,所以可以测量样品的ARUPS。图1(b)是测量ARUPS时的取向示意图。 $\langle\bar{1}\bar{1}\bar{1}\rangle$ 是样品的法线方向,实验时通过低能电子衍射(LEED)图样监测,将样品绕法线旋转,使 $\langle\bar{1}10\rangle$ 方向垂直向上,沿水平方位在不同的极角 $\theta$ 处测量ARUPS,则光电子的动量垂直分量 $K'_\perp$ 平行于 $\langle\bar{1}\bar{1}\bar{1}\rangle$ 方向,其平行分量 $K'_\parallel$ 沿 $\langle\bar{1}\bar{1}2\rangle$ 方向,符号右上角的撇号表示该量是体外光电子的末态动量,这两个分量与光电子的初态动量 $K$ 的相应分量 $K_\perp$ 和 $K_\parallel$ 有一定的联系。通过适当的计算,可以确定一定能量的光电子的初态动量,从而确定它们在 $K$ 空间的位置。



(a) 实验装置示意 (b) 方位和角度示意

图1 角分辨紫外光电子能谱测试示意图

实验中测量ARUPS时,采用HeI紫外线(光子能量 $h\nu = 21.2\text{ eV}$ )作激发源,入射线与样品法线夹角 $\alpha$ 为 $45^\circ$ ,分析器通能取 $10\text{ eV}$ 。

### 三、实验结果与分析

图2显示了HeI紫外线激发的GaP( $\bar{1}\bar{1}\bar{1}$ )面非正出射(极角 $\theta = 20^\circ$ )和正出射的ARUPS,同时还给出角积分谱(在另一台仪器ESCALAB-5上测得,样品制备与前述相同)。在角积分谱中有4个明显的峰A,B,C和D,若以价带顶(VBM)为0,则峰位分别在 $-2.4$ , $-4.5$ , $-7.0$ 和 $-12.5\text{ eV}$ ,其中A,C两峰较宽。正出射的ARUPS中有3个明显的光电子峰X,Y和Z,峰位分别在 $-1.4$ , $-3.2$ 和 $-7.0\text{ eV}$ 。 $20^\circ$ 角出射的ARUPS中光电子峰结构最为丰富,有6个明显的峰I,II,III,IV,V和VI,峰位分别在 $-1.4$ , $-3.2$ , $-4.5$ , $-5.8$ , $-7.0$ 和 $-13\text{ eV}$ 。角积分谱信号强度较大,但其结果失去了光电子发射的角度信息,得到的只是非常粗略的价带结构。而角分辨谱则将光电子峰分解得更为细致,从中可以得到较为详尽的价带结构。将角积分谱和 $20^\circ$ 角出射的ARUPS对比可以发现,角积分谱中较宽的峰A在 $20^\circ$ 角出射的ARUPS中分解为峰

I 和峰 II, 较宽的峰 C 分解为峰 IV 和峰 V, 而峰 B 和峰 D 则分别与峰 III 和峰 VI 相对应。值得注意的是, 以前的研究结果表明<sup>[1]</sup>, 这些结构均不受氢 (H) 吸附影响(只有峰 A, X 和 I 的靠近 VBM 的部分例外, 这在文献[1]中被归结为表面态的贡献), 因此, 将它们归因于体电子结构的贡献是合理的。下面将确定这些峰所对应的光电子在体内  $K$  空间中的位置。为此将首先导出通过光电子初态能量确定其对应动量的公式, 并且确定几个必需的常数, 然后再计算这些光电子峰所对应的初始动量。

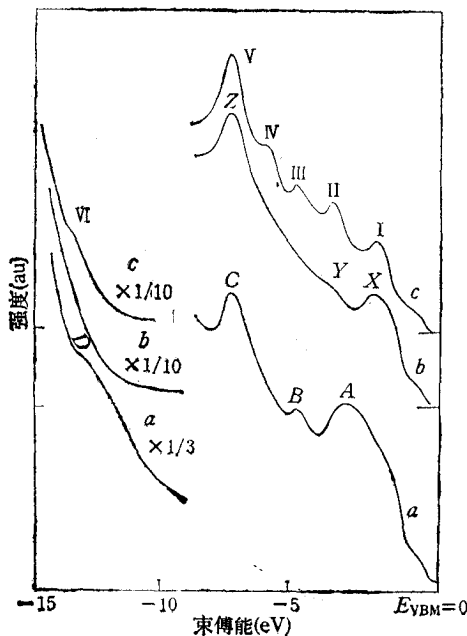


图 2 GaP(111) 面 ARUPS 和角积分 UPS 曲线  
a 为角积分谱; 曲线 b 为正出射角分辨谱; 曲线 c 为非正出射角分辨谱 ( $\theta = 20^\circ$ )

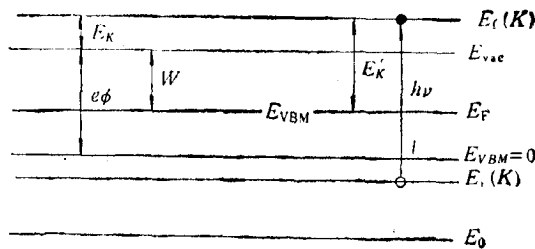


图 3 能级关系示意图

### 1. 由光电子的初态能量 $E_i(K)$ 计算相应的初态动量 $K$ 的公式<sup>[2]</sup>

图 3 是考虑问题所需的能级关系图。图 3 中所有能级均以价带顶能级  $E_{VBM} = 0$  为参照,  $E_F$  为费密能级,  $E_{vac}$  为真空能级, 电子被激发到  $E_{vac}$  以上就成为自由电子,  $E_K$  为真空中(体外)电子动能,  $E'_K$  为仪器测得的光电子动能,  $W$  为功函数。

先作如下两个假设:

1) 初态能级  $E_i(K)$  上的电子在光子  $h\nu$  的激发下发生直接跃迁, 跃迁到末态能级  $E_f(K)$  上。根据能量守恒得

$$E_f(K) = E_i(K) + h\nu. \quad (1)$$

2) 光电子的末态是近自由电子态, 则处于末态的体内, 电子有如下类自由电子的色散关系:

$$E_f(K) = \hbar^2 |K|^2 / 2m + E_0, \quad (2)$$

式中  $m$  为电子质量,  $E_0$  为体内电子在晶体场中的平均势能参考点, 也称光学势, 决定了价

带底相对于 VBM 的位置<sup>[3]</sup>, 见图 3。根据 Chelikowsky 等人<sup>[4]</sup>的计算, 取  $E_0 = -13\text{ eV}$ .

对体外电子动量的水平分量  $K'_\parallel$  有如下关系:

$$K'_\parallel = (2mE_K)^{1/2} \sin \theta / \hbar. \quad (3)$$

从图 3 中可知

$$E_f(\mathbf{K}) = E_K + e\phi. \quad (4)$$

综合(1)和(4)式可得

$$E_K = E_i(\mathbf{K}) + h\nu - e\phi. \quad (5)$$

将(5)式代入(3)式得

$$K'_\parallel = [2m(E_i(\mathbf{K}) + h\nu - e\phi)]^{1/2} \sin \theta / \hbar. \quad (6)$$

由水平分量动量守恒得

$$K_\parallel = K'_\parallel.$$

所以

$$K_\parallel = [2m(E_i(\mathbf{K}) + h\nu - e\phi)]^{1/2} \sin \theta / \hbar. \quad (7)$$

考虑到  $K^2 = K_\perp^2 + K_\parallel^2$ , 由(2)式可得

$$\begin{aligned} \hbar^2 K_\perp^2 / 2m &= E_f(\mathbf{K}) - E_0 - \hbar^2 K_\parallel^2 / 2m \\ &= E_i(\mathbf{K}) + h\nu - E_0 - (E_i(\mathbf{K}) + h\nu - e\phi) \sin^2 \theta \\ &= [E_i(\mathbf{K}) + h\nu - e\phi] \cos^2 \theta - (E_0 - e\phi), \end{aligned}$$

则

$$K_\perp = \{2m[(E_i(\mathbf{K}) + h\nu - e\phi) \cos^2 \theta + 13 + e\phi]\}^{1/2} / \hbar. \quad (8)$$

这样, 当  $e\phi$  被确定以后, 就可以用(7)和(8)式来计算所测得的  $E_i(\mathbf{K})$  相应的  $K_\perp$  和  $K_\parallel$ .

## 2. 由实验测定 $e\phi$

从图 3 可知

$$e\phi = W + (E_F - E_{VBM}). \quad (9)$$

因此实验确定  $e\phi$  实际上包含着确定两个参数, 即费密能级  $E_F$  相对 VBM 的位置和功函数  $W$ .

文献[1]曾报道在同样的 GaP(111) 表面上测得  $E_F - E_{VBM}$  值为 0.8 eV, 这里采用以前的测量方法, 得到同样的结果.

功函数  $W$  可以直接从 ARUPS 谱中测得. 在谱中, 记二次电子在低动能端外推的截止值与  $E_F$  的能量间隔为  $\Delta$ , 则  $W = h\nu - \Delta$ . 然而实验中发现, ARUPS 二次电子总被仪器功函数截断, 为了看到完整的二次电子峰, 将样品对地加 3.10 V 的负偏压, 使整个谱向低束缚能端平移 3.10 eV, 以避开仪器功函数的影响. 这样测得  $W = 4.0\text{ eV}$  (谱图这里没有给出).

将测得的  $E_F - E_{VBM} = 0.8\text{ eV}$  和  $W = 4.0\text{ eV}$  代入(9)式, 可得

$$e\phi = 4.8\text{ eV}.$$

考虑到  $h\nu = 21.2\text{ eV}$  和  $e\phi = 4.8\text{ eV}$ , (7) 和(8)式可写成

$$K_\parallel = 0.5121(E_i(\mathbf{K}) + 16.4)^{1/2} \sin \theta, \quad (10)$$

$$K_{\perp} = 0.5121[(E_i(\mathbf{K}) + 16.4)\cos^2\theta + 17.8]^{1/2}, \quad (11)$$

式中能量均以 eV 为单位,  $K_{\parallel}$  和  $K_{\perp}$  以  $\text{\AA}^{-1}$  为单位。

现在可以用(10)和(11)式来确定 ARUPS 中观察到的谱峰所对应的光电子初始动量  $K_{\parallel}$  和  $K_{\perp}$ , 结果见表 1。图 4 标出这些点在  $K$  空间中的位置, 其中实心正方形为正出射的数据点, 实心圆点为  $20^\circ$  角出射的数据点。显然正出射的数据点是排列在  $\overline{TL}$  线上的, 而  $20^\circ$  角出射的数据点则近似排列在一条直线上, 这条直线与  $\overline{TU}$  直线靠得很近, 称之为  $\overline{T'U'}$  线。根据 III-V 族化合物半导体材料能带结构的连续性可以推测, 能带结构在  $\overline{T'U'}$  线上和在  $\overline{TU}$  线上应该相似。不妨将这些点投影到  $\overline{TU}$  线上与 Chelicowsky 等人<sup>[4]</sup>计算的能带结构做一比较, 见图 5。可以看出, 峰 III( $-4.5\text{eV}$ ) 和峰 IV( $-5.8\text{eV}$ )

表 1 GaP(III) 表面 ARUPS 中谱峰所对应的光电子的初始能级和相应初始动量

	峰 号	$E_i(\text{eV})$	$K_{\parallel}(\text{\AA}^{-1})$	$K_{\perp}(\text{\AA}^{-1})$
正出射	X	-1.4	0	2.933
	Y	-3.2	0	2.851
	Z	-7.0	0	2.671
非正出射 ( $\theta = 20^\circ$ )	I	-1.4	0.6783	2.853
	II	-3.2	0.6363	2.779
	III	-4.5	0.6042	2.725
	IV	-5.8	0.5702	2.669
	V	-7.0	0.5370	2.616
	VI	-13	0.3230	2.336

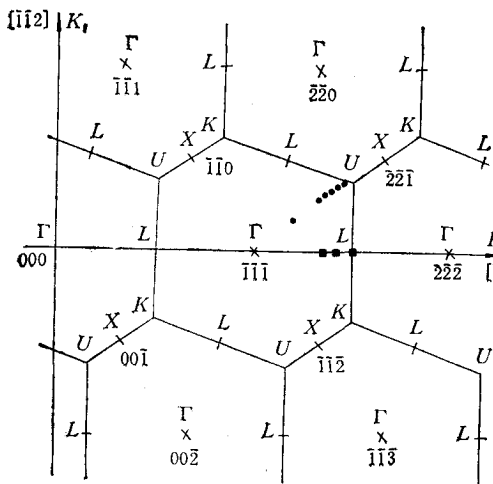


图 4 光电子峰所对应的初始状态在  $K$  空间中的位置  
实心正方形为正出射的数据点; 实心圆点为  $20^\circ$  角出射的数据点

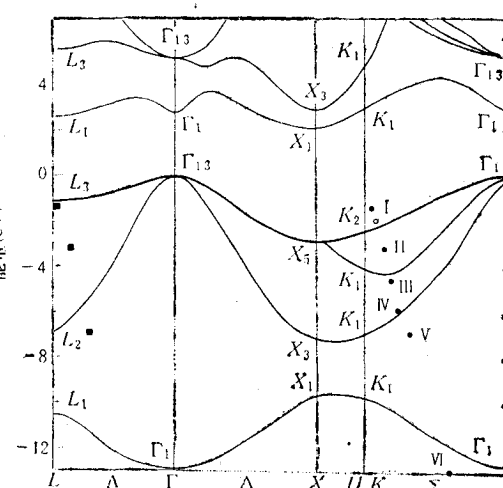


图 5 实验数据与理论计算结果比较 实线为 Chelicowsky 等人<sup>[4]</sup>计算的能带曲线

两点与计算结果符合得非常好。峰 I( $-1.4\text{eV}$ ) 实际上包含有表面态的贡献, 应对峰位进行修正。以前的研究表明<sup>[11]</sup>, 表面态位于 VBM 下  $1.3\text{eV}$  处, 考虑到这个因素, 考察了

表面态被氢吸附饱和以后的 ARUPS, 发现体贡献的光电子峰应大致位于  $-1.8\text{ eV}$  处。修正后的峰 I 数据点见图 5 中的空心圆圈, 显然与实验也符合得很好。峰 II ( $-3.2\text{ eV}$ ), 峰 V ( $-7.0\text{ eV}$ ) 和峰 VI ( $-13\text{ eV}$ ) 与理论结果偏差较大, 似乎不能仅以  $\overline{\Gamma U'}$  与  $\overline{\Gamma U}$  线的偏离来解释。从谱中来看, 峰 VI 的强度很弱, 几乎淹没在二次电子背景中, 这很可能不是体带的特征, 而是某种共振态或俄歇过程的贡献。而峰 II 和 V 则有可能来源于背向键的表面态贡献, 这种态受表面氢吸附影响不大, 难以用氢吸附来识别。

再看  $\overline{\Gamma L}$  线上的 3 个正出射数据点。同样, 峰 X ( $-1.4\text{ eV}$ ) 也包含有表面态的贡献, 但这里表面态峰位于  $-0.6\text{ eV}$  处<sup>[1]</sup>, 体态贡献的峰位确定受其影响不是很大, 因此, 这里的峰位修正可以忽略。从图 5 中来看, 这一点与理论符合较好。峰 Z ( $-7.0\text{ eV}$ ) 所对应的能量比理论预言的略低, 这表明能带在这一点比理论预言的要更平缓一些。峰 Y ( $-3.2\text{ eV}$ ) 很可能与  $20^\circ$  角出射情形中的峰 II 是同一来源。

总之, GaP(111) 面正出射的角分辨紫外光电子能谱中峰 Z, 峰 X 的一部分和沿 [112] 方向倾斜  $20^\circ$  角出射的谱中峰 III, IV, I 的一部分为体能带的电子所贡献。而峰 Y 以及峰 II, V 和 VI 则可能是背向键和共振态或俄歇过程的贡献。

#### 四、结 论

本文利用 HeI 紫外线作激发源, 测量了 GaP(111) 面正出射和非正出射(沿 [112] 方位极角  $\theta = 20^\circ$ ) 的角分辨紫外光电子能谱。通过详细的数据分析, 识别了谱中各光电子峰的来源, 发现正出射的谱与布里渊区中  $\overline{\Gamma L}$  线的体电子状态特征相联系, 而  $20^\circ$  角出射的谱则呈现出丰富的光电子峰, 主要与和  $\overline{\Gamma U}$  相近的一条线上的体电子状态特征相联系。实验结果中体能带的特征与 Chelikowsky 等人<sup>[4]</sup>的非定域赝势法计算结果符合得较好。另外, 实验中还观察到非体能带特征的光电子峰, 初步归结为背向键、共振态或俄歇过程的贡献。

本工作还得到上海市科学技术委员会自然科学基金的资助。

- [1] 卢学坤、董国胜, 物理学报, **38**(1989), 1974.
- [2] T. C. Chiang, J. A. Knapp, M. Aono and D. E. Eastman, *Phys. Rev.*, **B21**(1980), 3513.
- [3] P. K. Larsen, J. H. Neave and B. A. Joyce, *J. Phys. C*, **14**(1981), 167.
- [4] J. R. Chelikowsky and M. L. Cohen, *Phys. Rev.*, **B14**(1976), 556.

## GaP BAND STRUCTURE STUDIED BY ARUPS

Lu XUE-KUN Hou XIAO-YUAN Ding XUN-MIN Chen PING

*Laboratory of Surface Physics, Fudan University, Shanghai, 200433*

(Received 7 November 1989)

### ABSTRACT

HeI ultraviolet light has been used to take angle resolved ultraviolet photoelectron spectra (ARUPS) of GaP(111) surfaces. The observed photoelectron peaks have been explained based on detailed analysis of the data. The measured characteristics of the bulk band structure agrees well with the theoretical prediction.

PACC: 7125T